

В заключение авторы считают своим приятным долгом поблагодарить Ж.И. Алфёрова за постоянное внимание и поддержку работы.

### С п и с о к л и т е р а т у р ы

- [1] Алфёров Ж.И., Портной Е.Л., Стельмах Н.М., Журавлев А.Б. // Письма в ЖТФ. 1986. Т. 12. В. 18. С. 1097-1098.
- [2] Van der Ziel J.P., Tsang W.T., London R.A., Mikulyak R.M., Augustinuk W.M. // Appl. Phys. Lett. 1981. V. 39(7). P. 525.
- [3] Sturgeon T.D. // Phys. Rev. 1962. V. 127. N 4. P. 768-773.

Физико-технический  
институт им. А.Ф. Иоффе  
АН СССР, Ленинград

Поступило в Редакцию  
24 апреля 1989 г.

Письма в ЖТФ, том 15, вып. 11            12 июня 1989 г.

06.3; 07

### АМПЛИТУДНО-ЧАСТОТНАЯ ХАРАКТЕРИСТИКА ВОЛОКОННО-ОПТИЧЕСКОГО ВРМБ УСИЛИТЕЛЯ ПРИ СИЛЬНОМ ИСТОЩЕНИИ НАКАЧКИ

А.А. Фотиади, Е.А. Кузин,  
М.П. Петров, А.А. Ганичев

При изучении ВРМБ в оптическом волокне от достаточно длинных лазерных импульсов вдоль волокна можно выделить три характерных области, в которых происходит формирование стоксового сигнала [1]. Сначала в области распространения передней части импульса накачки - „предвестника” происходит зарождение из шума стоксовой волны сравнительно небольшой интенсивности („бегущий” режим ВРМБ [2, 3]). Затем образовавшаяся стоксова волна свободно проходит через вторую область волокна, где накачка сильно истощена, и попадает в область интенсивной накачки вблизи входного торца волокна, где усиливается окончательно. Последняя область фактически представляет собой ВРМБ усилитель [4], работающий в нестационарном режиме при сильном истощении накачки. Передаточные характеристики такого усилителя в большой степени определяют динамические параметры выходного стоксового сигнала при ВРМБ.

В настоящей работе путем линеаризации исходных уравнений относительно стационарных распределений интенсивностей по длине

волокна получено решение нестационарной пространственно-временной задачи ВРМБ усиления при сильном истощении накачки. Рассмотрен процесс передачи через ВРМБ усилитель стокового сигнала, промодулированного по гармоническому закону. Показано, что амплитудно-частотная характеристика ВРМБ усилителя при сильном истощении накачки имеет максимум вблизи частоты  $\sim \frac{1}{\tau_{3B}}$ , где  $\tau_{3B}$  - время релаксации гиперзвука в среде.

Полученные результаты также могут представлять интерес при использовании ВРМБ для усиления слабых сигналов в ВОЛС [5, 6].

1. Нестационарная пространственно-временная задача ВОЛС в одномодовом волокне описывается системой трех связанных волновых уравнений для комплексных амплитуд волн накачки  $\varepsilon_1(\tau; z)$ , стокового излучения  $\varepsilon_2(\tau; z)$  и гиперзвука  $\varepsilon_S(\tau; z)$ . В приближении медленно меняющихся амплитуд, при условии, что амплитуда гиперзвуковой волны мало меняется за период звуковых колебаний [7] и с учетом фазовых соотношений при ВРМБ [8], исходные уравнения можно записать в виде

$$\begin{aligned} (\partial_t + \partial_x) P_1 &= -2\sqrt{P_1 P_2} E_S, \\ (\partial_t - \partial_x) P_2 &= 2\sqrt{P_1 P_2} E_S, \\ (\partial t + \gamma) E_S &= g\sqrt{P_1 P_2}. \end{aligned} \quad (1)$$

Здесь приняты следующие обозначения:  $P_1 = \varepsilon_1 \varepsilon_1^* / P_{10}$ ,  $P_2 = \varepsilon_2 \varepsilon_2^* / P_{10}$ ,  $P_{10}$  - пиковая мощность излучения накачки;  $E_S \sim \frac{|\varepsilon_S|}{P_{10}}$  (точное выражение для  $E_S$  имеется в [7]);  $x = \frac{z}{\tau_o}$ ,  $\tau_o = \frac{1}{GP_{10}}$ ,  $t = \frac{\tau}{\tau_o}$ ,  $\tau_o = \frac{\tau_o n}{c}$ ,  $\gamma = \Gamma \tau_o$ ,  $G = \frac{g}{\tau_o}$ ,  $z$  - текущая координата вдоль волокна,  $\tau$  - реальное время,  $\Gamma = \frac{1}{\tau_{3B}}$  - полуширина линии СРМБ,  $g$  - коэффициент усиления ВРМБ,  $S$  - эффективная площадь сечения волокна,  $\tau_{3B}$  - время релаксации гиперзвука в среде.

Стационарное распределение интенсивностей накачки  $P_1^*(x)$  и стокового излучения  $P_2^*(x)$  по длине волокна при сильном истощении накачки может быть получено как стационарное решение системы (1) с граничными условиями  $P_1^*(0) = P_2^*(0) = 1$  и имеет вид:

$$P_1^*(x) = P_2^*(x) = E_S^*(x) = \frac{1}{2x+1}. \quad (2)$$

Представим общее решение системы (1) как сумму стационарного решения (2) и малой нестационарной добавки:

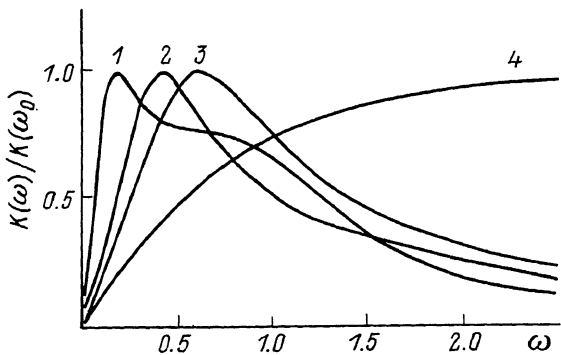


Рис. 1. Амплитудно-частотная характеристика ВРМБ усилителя при сильном истощении накачки. 1 -  $\gamma = 0.1$ ,  $K(\omega_0) = 12$ ; 2 - 0.5, 30; 3 - 1.0, 40; 4 -  $\infty$ , 80.  $\omega$  в относительных единицах (1).

$$\rho_1(x, t) = \rho_1^0(x) + \rho_1(x, t),$$

$$\rho_2(x, t) = \rho_2^0(x) + \rho_2(x, t),$$

$$E_s(x, t) = E_s^0(x) + e_s(x, t).$$

Линеаризация (1) по малым добавкам и применение метода Лапласа для решения систем линейных дифференциальных уравнений позволяет написать выражения для  $\rho_1(x, t)$ ,  $\rho_2(x, t)$  в виде:

$$\rho_1(x, t) = \mathcal{L}^{-1} \left\{ \frac{z^{-\alpha}}{2} [\alpha(s)(K_{\alpha+1}(z) + K_\alpha(z)) + b(s)(I_{\alpha+1}(z) - I_\alpha(z))] \right\},$$

$$\rho_2(x, t) = \mathcal{L}^{-1} \left\{ \frac{z^{-\alpha}}{2} [\alpha(s)(K_{\alpha+1}(z) - K_\alpha(z)) + b(s)(I_{\alpha+1}(z) + I_\alpha(z))] \right\},$$

где  $\mathcal{L}^{-1}$  - обратное преобразование Лапласа по параметру  $s$ ,  $\alpha = \frac{1}{2} \frac{\gamma}{r+s}$ ;  $z = s(x + \frac{t}{2})$ ,  $K_\alpha(z)$ ,  $I_\alpha(z)$  - модифицированные функции Бесселя.

Коэффициенты  $\alpha(s)$ ,  $b(s)$  в (4) определяются из граничных условий для  $\rho_1(x, t)$ ,  $\rho_2(x, t)$ :

$$\rho_1(0, t) = f_1(t),$$

$$\rho_2(L, t) = f_2(t),$$

(5)

где  $L$  - длина оптического волокна в относительных единицах (1);  $f_1(t)$ ,  $f_2(t)$  - заданные функции, модулирующие стационарные значения входных сигналов накачки и стокса в волоконно-оптическом ВРМБ усилителе.

2. Пусть входными сигналами волоконно-оптического ВРМБ усилителя являются постоянный сигнал накачки и стоксов сигнал средней интенсивности  $P_2^o(L)$ , промодулированный по гармоническому закону.

$$\rho_1(0,t) = 1,$$

$$\rho_2(L,t) = \frac{1}{2L+1} + \alpha \sin \omega t, \quad t > 0, \quad (6)$$

$$\alpha \ll \frac{1}{2L+1}.$$

Процесс передачи по волокну гармонической составляющей стоксowego сигнала в этом случае описывается формулами (4) с граничными условиями (5) в виде:

$$\rho_1(0,t) = 0,$$

(7)

$$\rho_2(L,t) = \alpha \sin \omega t, \quad t > 0.$$

Считая длину оптического волокна достаточно большой ( $L \gg 1$ ), получим из (4), (7) выражение для нестационарной добавки к постоянному стоксовому сигналу на выходе из усилителя:

$$\rho_2(0,t) = \mathcal{K} \alpha \sin(\omega t + \varphi) + \mathcal{F}(t), \quad t > L. \quad (8)$$

Здесь  $\mathcal{K} = |\mathcal{G}(i\omega)|$ ;  $\varphi = \arg \mathcal{G}(i\omega)$ ;  $\mathcal{F}(t) = \frac{1}{\pi} \operatorname{Im} \int_{-\infty+i0}^{-\infty+i\infty} \mathcal{G}(s) \frac{\omega e^{st}}{\omega^2 + s^2} ds \sim \sim e^{-\tilde{\sigma}_0 t}$  ( $\tilde{\sigma}_0 \approx \gamma$ , при  $\gamma < 1$ ,  $\tilde{\sigma}_0 \approx 1$ , при  $\gamma > 1$ );  $\mathcal{G}(s)$  - комплексная передаточная функция усилителя

$$\mathcal{G}(s) = (2L+1)^{-1/2} \frac{2\sqrt{\pi}}{\sqrt{s} e^{s/2} (K_{\alpha+1}(s/2) + k_\alpha(s/2))} \quad \text{при } |s| > L^{-1}, \quad (9)$$

$$\mathcal{G}(s) \rightarrow 2 \quad \text{при } |s| \rightarrow 0, \quad \alpha = \frac{1}{2} \frac{\gamma}{\gamma + s}.$$

При  $t \rightarrow \infty$  второе слагаемое в (8) затухает и остается только первое слагаемое, которое описывает установившееся поведение системы. Коэффициент  $\mathcal{K}$  при этом определяет усиление гармонической составляющей стоксового сигнала, а зависимость  $\mathcal{K}(\omega)$  представляет собой амплитудно-частотную характеристику ВРМБ усилителя, работающего в режиме сильного истощения накачки.

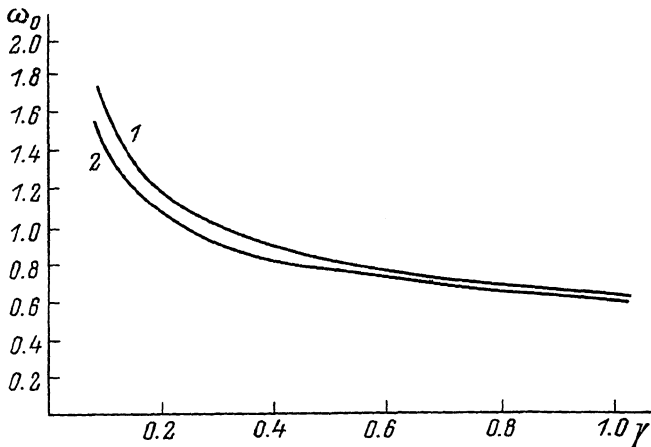


Рис. 2. Зависимость центральной частоты АЧХ усилителя (в единицах  $\frac{1}{\tau_{3B}}$ ) от параметра  $\gamma$ . 1 -  $L = 40$ , 2 -  $L = 80$ .

На рис. 1 представлен ряд амплитудно-частотных характеристик ВРМБ усилителя  $\mathcal{K}(\omega)$ , полученных из (9) при  $L = 40$  и различных значениях параметра  $\gamma$ . Хорошо видно, что при конечных значениях  $\gamma$  зависимость  $\mathcal{K}(\omega)$  имеет ярко выраженный максимум на частоте  $\omega_0 \sim \gamma$ . При  $\gamma \rightarrow 0$  или  $\gamma \rightarrow \infty$  максимум на АЧХ усилителя постепенно размывается и исчезает.

На рис. 2 представлены зависимости центральной частоты АЧХ усилителя, приведенной к  $\frac{1}{\tau_{3B}}$  от значения параметра  $\gamma$ , при  $L = 40$  и  $L = 80$ . Из них, в частности, следует, что изменение длины усилителя в два раза не приводит к существенному сдвигу центральной частоты АЧХ. При  $\gamma \gtrsim 0.4$  центральная частота также слабо зависит от мощности накачки и определяется в основном временем релаксации гиперзвукка в среде  $\tau_{3B}$ .

Таким образом, нами показано, что волоконно-оптический ВРМБ усилитель в режиме сильного истощения накачки имеет наибольший динамический коэффициент усиления в области частот  $\sim 1/\tau_{3B}$ .

Это означает, что при ВРМБ в оптическом волокне истощение накачки приводит к сужению и смещению в область больших частот спектра выходного стоксового сигнала в сравнении со спектром, полученным в [3] для ВРМБ в „бегущем“ режиме.

В заключение отметим, что АЧХ усилителя, полученные путем численного решения системы (1), и АЧХ, полученные из решения линеаризованной задачи (9), полностью совпадают в том случае, когда амплитуда гармонической добавки к входному стоксовому сигналу не превышает 80% от его постоянной составляющей.

## Список литературы

- [1] Кузин Е.А., Петров М.П., Ситников А.Э., Фотиади А.А. // ЖТФ. 1988. Т. 58. В. 12. С. 2330-2335.
- [2] Бененсон З.М., Бункин Ф.В., Власов Д.В., Дианов Е.М., Карасик А.Я., Лучников А.В., Шебнев Е.Л., Яковлева Т.В. // Письма в ЖЭТФ. 1985. Т. 42. В. 4. С. 164-167.
- [3] Дианов Е.М., Карасик А.Я., Лучников А.В. // ЖТФ. 1987. Т. 57. В. 8. С. 1556-1561.
- [4] Кузин Е.А., Петров М.П., Фотиади А.А. // ЖТФ. 1988. Т. 58. В. 2. С. 335-341.
- [5] Atkins C.C., Cotter D., Smith D.W., Wyatt R. // Electr. Lett. 1986. V. 22. N 10. Р. 556-557.
- [6] Olsson N.A., Van Rev-Ziel J.P. // Electr. Lett. 1986. V. 22. N 10. Р. 486-487.
- [7] Дианов Е.М., Пилипецкий А.Н., Серкин В.Н. // Квантовая электроника. 1986. Т. 13. № 2. С. 397-404.
- [8] Coeste J., Montes C. // Phys. Rev. A. 1986. V. 34. N 5. Р. 3940-3949.

Физико-технический  
институт им. А.Ф. Иоффе  
АН СССР, Ленинград

Поступило в Редакцию  
4 апреля 1989 г.

Письма в ЖТФ, том 15, вып. 11

12 июня 1989 г.

04; 11

КАТОДНЫЙ СЛОЙ ВАКУУМНОЙ ДУТИ  
С ДИФФУЗНОЙ ПРИВЯЗКОЙ ТОКА

А.В. Болотов, А.В. Козырев,  
Ю.Д. Королев

Один из режимов горения катодного пятна в дуговых разрядах — режим диффузной привязки. Он реализуется при типичных плотностях тока на катоде  $j = (10-10^3) \text{ A/cm}^2$  и высоких температурах поверхности  $T_K$ , обеспечивающих ток термоэмиссии по всей площади катодного пятна. Известно, что все металлы в отношении их способности работать в качестве термоэмиссионных катодов можно разделить на две группы [1]. К первой группе относятся тугоплавкие металлы  $W$ ,  $Mo$ ,  $Ta$  и т.п., у которых равновесный поток электронов термоэмиссии превышает поток испаряющихся атомов. Во вторую